

**Méthode de la frontière élargie (F.B.M.) pour la  
résolution de problèmes elliptiques dans des  
domaines perforés.  
Application aux écoulements fluides  
tridimensionnels.**

Mourad Ismail

Thèse en cotutelle

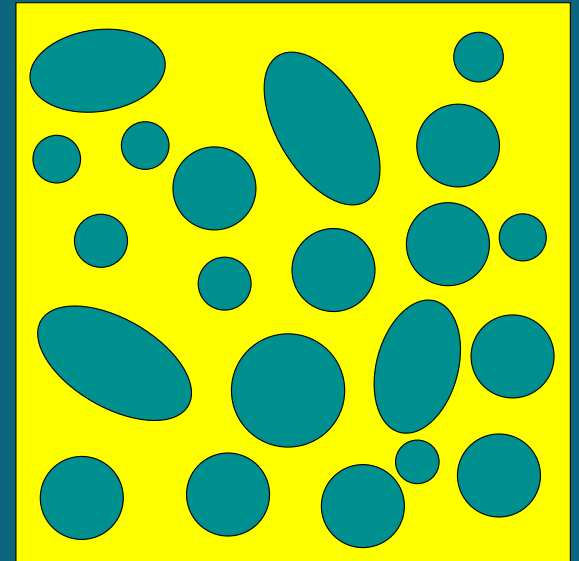
Laboratoire Jacques-Louis Lions  
Université Pierre et Marie Curie  
C. Bernardi & B. Maury

Laboratoire d'Ingénierie Mathématique  
École Polytechnique de Tunisie  
T. Hadhri

# Motivation : simulations (3D) d'écoulements fluides dans des géométries complexes

## Difficultés :

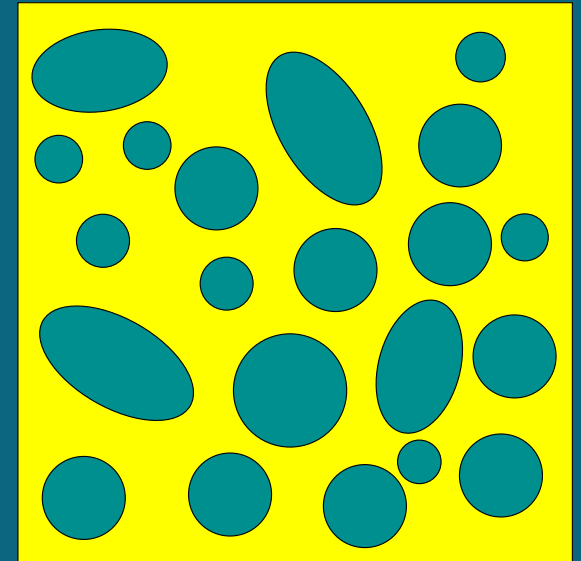
- équations de Navier-Stokes dans un domaine tridimensionnel perforé
- les “trous” bougent quand les particules sont transportées par le fluide



# Motivation : simulations (3D) d'écoulements fluides dans des géométries complexes

## Difficultés :

- équations de Navier-Stokes dans un domaine tridimensionnel perforé
- les “trous” bougent quand les particules sont transportées par le fluide



## Objectifs

- Utilisation de solveurs rapides
- Garder la possibilité de calculer avec précision dans un voisinage des “trous”

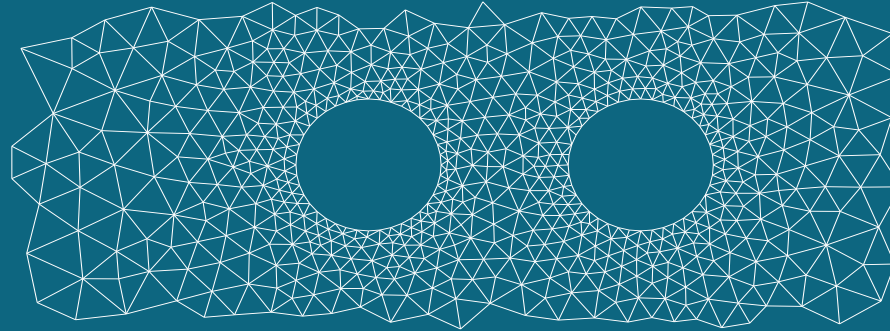
# Plan

1. Problèmes elliptiques dans des domaines perforés
  - Méthodes existantes
  - F.B.M. Analyse mathématique et tests numériques
2. Algorithme de prise en compte des conditions de Neumann
  - Convergence et validation numérique
3. Application aux écoulements fluides tridimensionnels
  - Simulation de la convection-diffusion de la chaleur
  - Discrétisation des équations de Navier-Stokes
  - Simulations numériques
4. Conclusion et perspectives



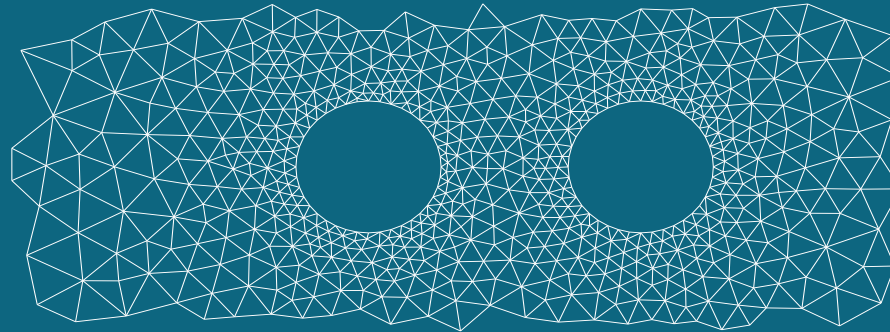
# Méthodes existantes

## I. Maillages non structurés



# Méthodes existantes

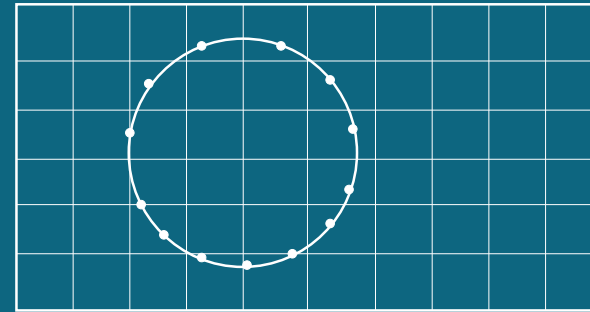
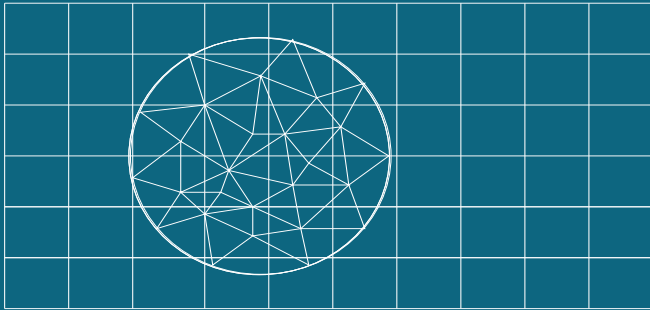
## I. Maillages non structurés



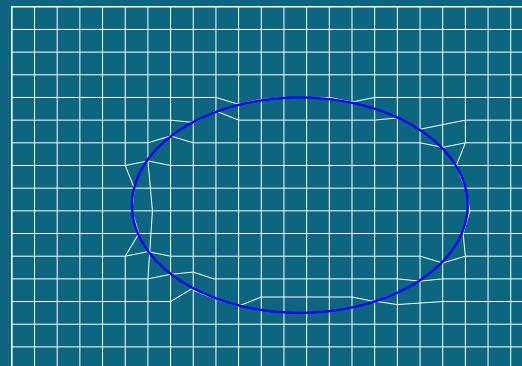
- ✓ **Avantage** : possibilité de calculer avec précision dans un voisinage des “trous” .
- ✗ **Inconvénient** : perte de la structure cartésienne

## II. Maillages cartésiens

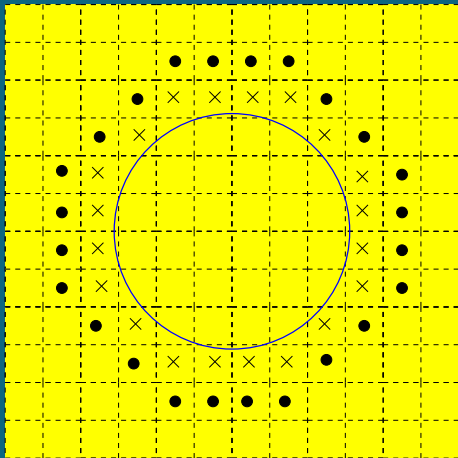
- Frontière immergée [Peskin]
- Domaines fictifs avec multiplicateurs de Lagrange [Girault, Glowinski et al.]



- Domaines fictifs avec pénalisation [*Freefem 3D*: Del Pino, Pironneau]
- Maillage localement adapté [Saul'ev]

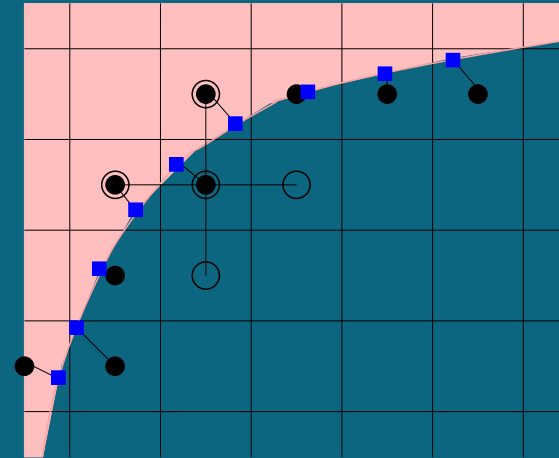


“ *Physalis* ” [Prosperetti *et al.*]  
2001-2003



M.I.I. [LeVeque et Li]

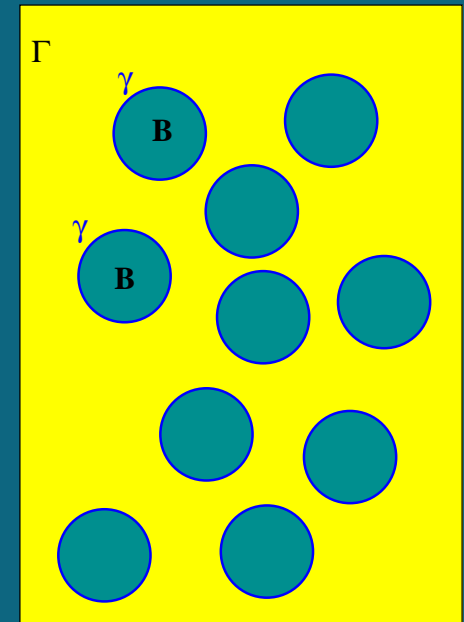
Schéma aux différences finies corrigé  
[Calhoun], 2002



- Couplage FEM-BEM [Celorrio *et al.*], 2002
- Couplage DF-BEM [Russel *et al.*], 2003

# Problème modèle

- $\Omega = \square \subset \mathbb{R}^n$
- $B$  : une collection de sous-domaines réguliers
- $\square \setminus \overline{B}$  : le domaine perforé



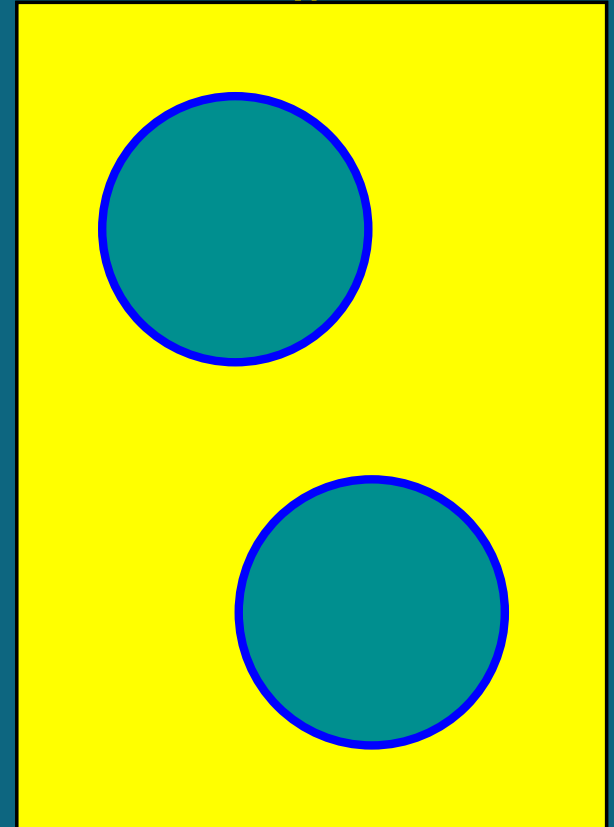
Soit  $f \in L^2(\square \setminus \overline{B})$ . Trouver  $u \in H^1(\square \setminus \overline{B})$ , telle que

$$\begin{cases} -\Delta u = f & \text{dans } \square \setminus \overline{B} \\ u = 0 & \text{sur } \gamma \cup \Gamma \end{cases}$$

# Principe de la F.B.M. : “*The Fat Boundary Method*”

Pb. initial (dans  $\square \setminus \overline{B}$  de frontière  $\Gamma \cup \gamma$ )

➡ deux nouveaux Pbs. : **global** et **local**.



Lien entre résolutions **globale** et **locale** :

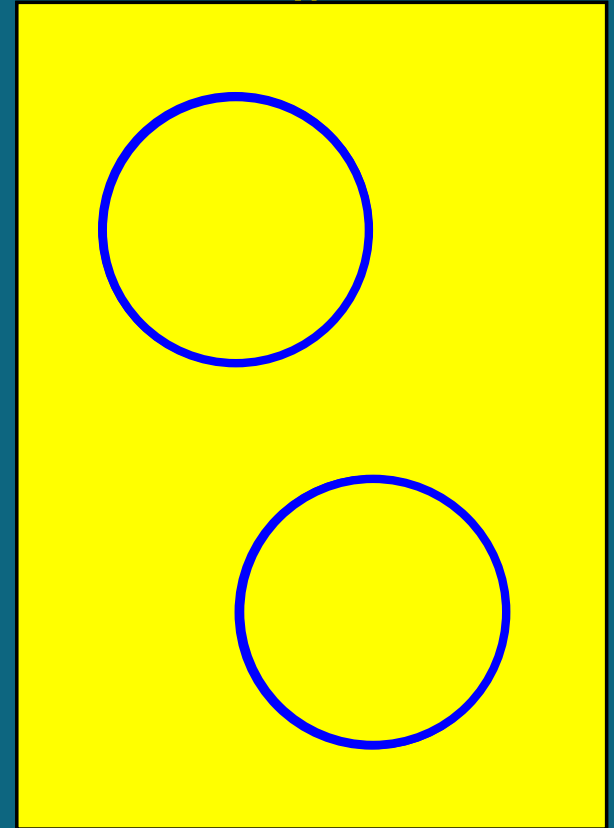
- interpolation d'un champ global sur  $\gamma'$
- saut de la dérivée normale à travers  $\gamma$

# Principe de la F.B.M. : “*The Fat Boundary Method*”

Pb. initial (dans  $\square \setminus \overline{B}$  de frontière  $\Gamma \cup \gamma$ )

→ deux nouveaux Pbs. : **global** et **local**.

- extension :  $f \longrightarrow \bar{f} \in L^2(\square)$



Lien entre résolutions **globale** et **locale** :

- interpolation d'un champ global sur  $\gamma'$
- saut de la dérivée normale à travers  $\gamma$

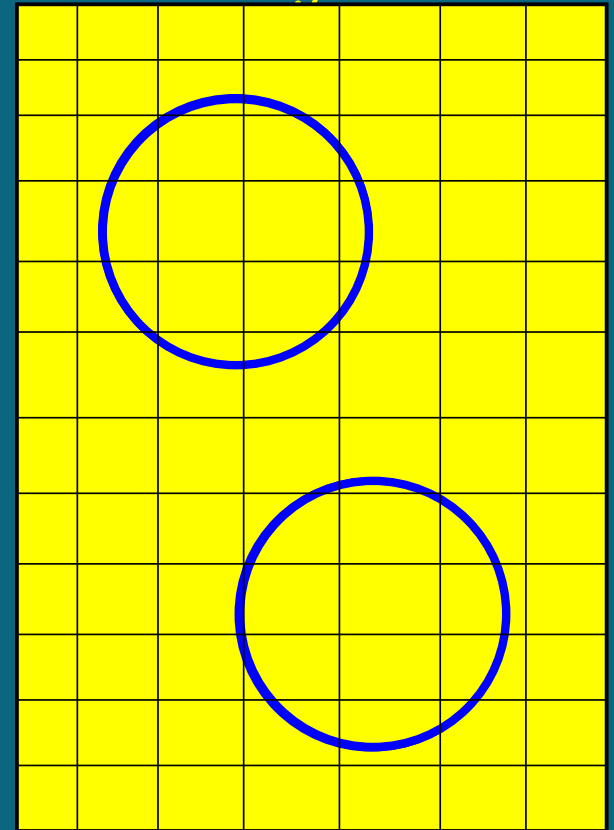
# Principe de la F.B.M. : “*The Fat Boundary Method*”

Pb. initial (dans  $\square \setminus \bar{B}$  de frontière  $\Gamma \cup \gamma$ )

→ deux nouveaux Pbs. : **global** et **local**.

- extension :  $f \longrightarrow \bar{f} \in L^2(\square)$

$$-\Delta \hat{u} = \bar{f} + \partial_n v \delta_\gamma$$



Lien entre résolutions **globale** et **locale** :

- interpolation d'un champ global sur  $\gamma'$
- saut de la dérivée normale à travers  $\gamma$



# Principe de la F.B.M. : “*The Fat Boundary Method*”

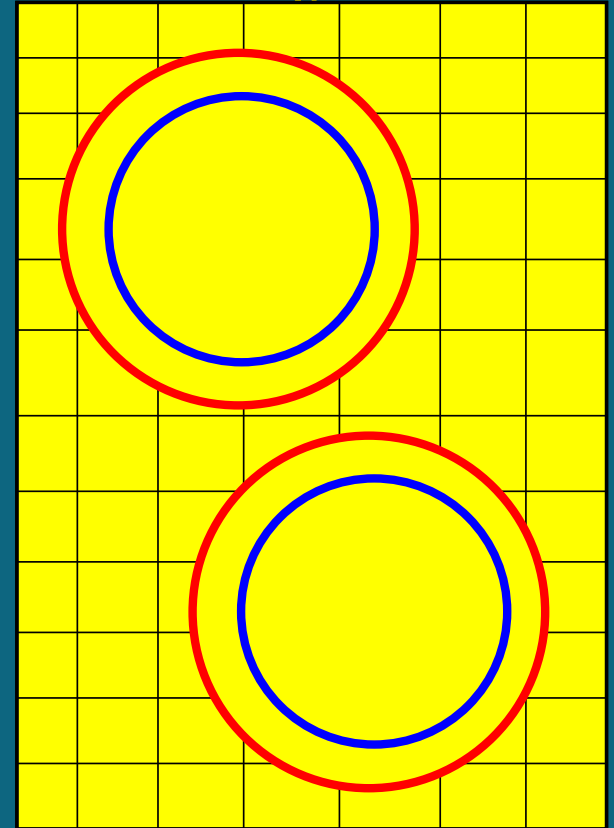
Pb. initial (dans  $\square \setminus \overline{B}$  de frontière  $\Gamma \cup \gamma$ )

➡ deux nouveaux Pbs. : **global** et **local**.

- extension :  $f \longrightarrow \bar{f} \in L^2(\square)$

$$-\Delta \hat{u} = \bar{f} + \partial_n v \delta_\gamma$$

- $\gamma' \subset \subset \square$ ;



# Principe de la F.B.M. : “The Fat Boundary Method”

Pb. initial (dans  $\square \setminus \bar{B}$  de frontière  $\Gamma \cup \gamma$ )

→ deux nouveaux Pbs. : **global** et **local**.

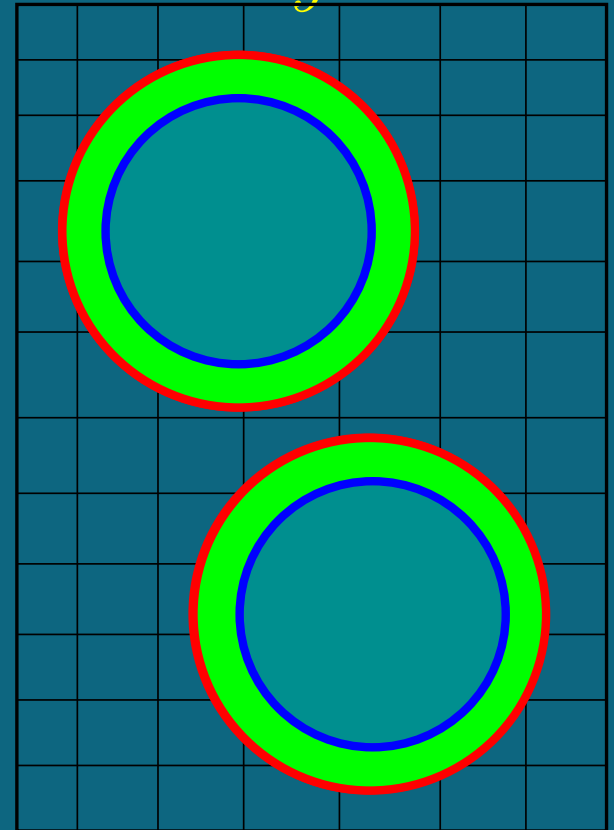
- extension :  $f \longrightarrow \bar{f} \in L^2(\square)$

$$-\Delta \hat{u} = \bar{f} + \partial_n v \delta_\gamma$$

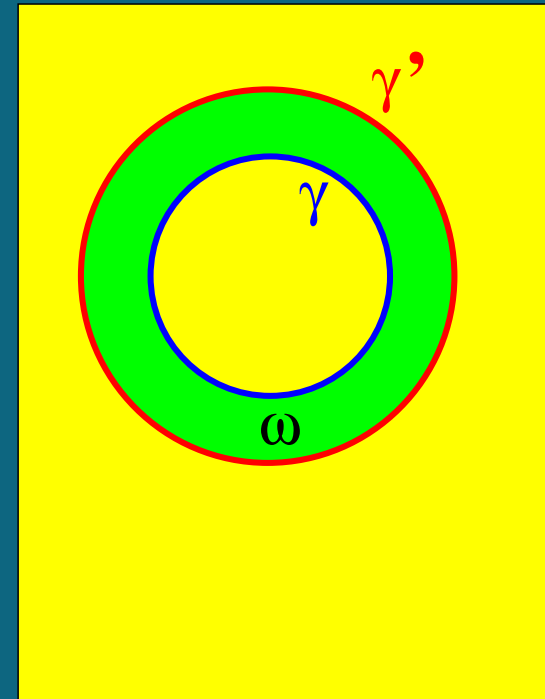
- $\gamma' \subset \subset \square$ ;  $\omega \subset \square \setminus \bar{B}$ ,  $\partial\omega = \gamma \cup \gamma'$

$$-\Delta v = f \quad v|_{\gamma'} = \hat{u}|_{\gamma'}$$

↓  
Informations sur  $\partial_n v$



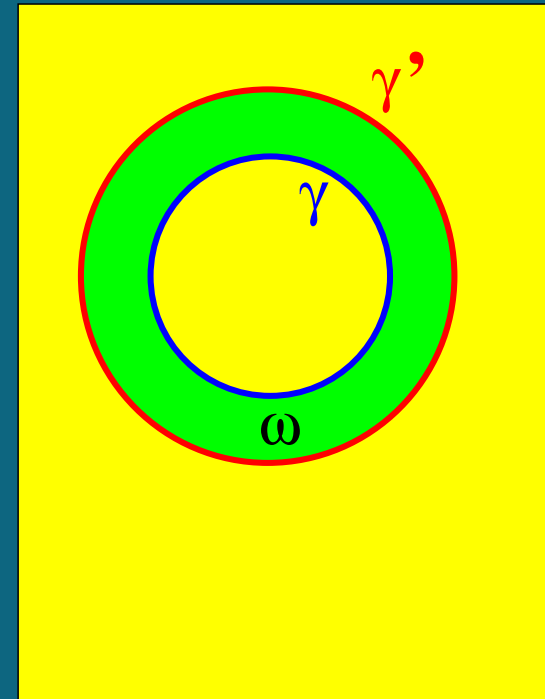
# Formulation de point fixe. Itération de type Schwartz



# Formulation de point fixe. Itération de type Schwartz

- $\hat{u}^k \longmapsto v^k$  solution dans  $\omega$  de

$$-\Delta v^k = f \quad v^k|_{\gamma'} = \hat{u}^k|_{\gamma'}$$



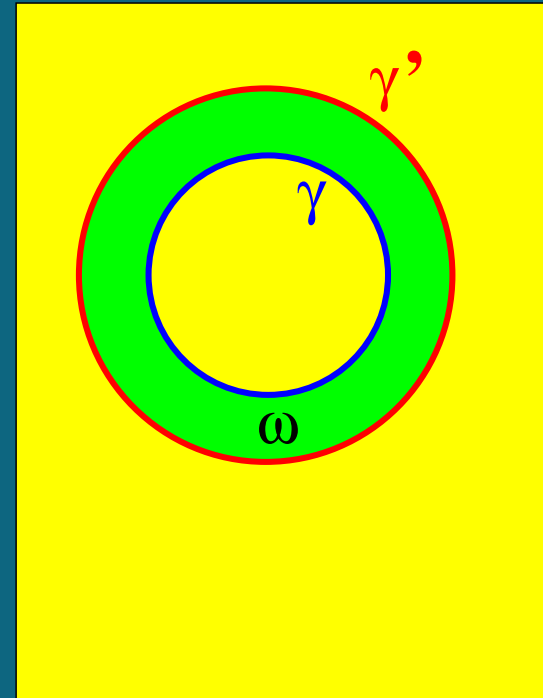
# Formulation de point fixe. Itération de type Schwartz

- $\hat{u}^k \mapsto v^k$  solution dans  $\omega$  de

$$-\Delta v^k = f \quad v^k|_{\gamma'} = \hat{u}^k|_{\gamma'}$$

- $v^k \mapsto \hat{U}^k$  solution dans  $\square$  de

$$-\Delta \hat{U}^k = \bar{f} + \partial_n v^k \delta_\gamma$$



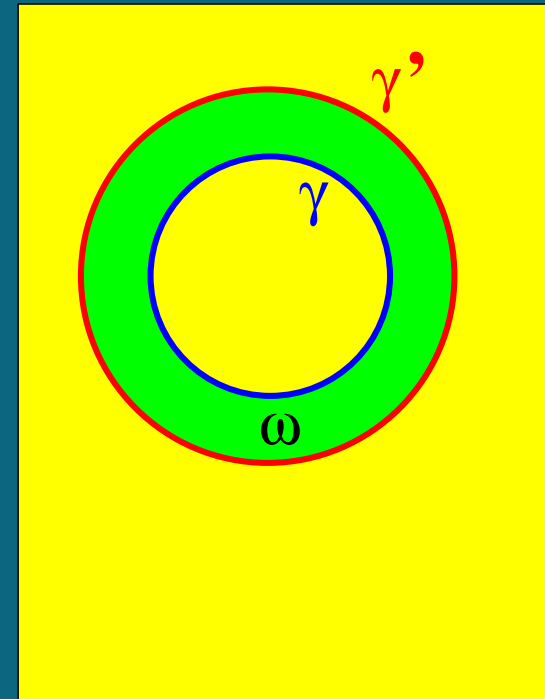
# Formulation de point fixe. Itération de type Schwartz

- $\hat{u}^k \mapsto v^k$  solution dans  $\omega$  de

$$-\Delta v^k = f \quad v^k|_{\gamma'} = \hat{u}^k|_{\gamma'}$$

- $v^k \mapsto \hat{U}^k$  solution dans  $\square$  de

$$-\Delta \hat{U}^k = \bar{f} + \partial_n v^k \delta_\gamma$$



- relaxation :  $\hat{u}^{k+1} = \theta \hat{u}^k + (1 - \theta) \hat{U}^k$

## F.B.M. Le schéma continu

( $\bar{f} = 0$ ), une itération de l'algorithme de point fixe :

$$T : \hat{u}^k \xrightarrow{D[\gamma']} v^k \xrightarrow{N[\gamma]} \hat{U}^k$$

➤ Étape 1.

$$\langle \hat{U}, \hat{u} \rangle \leq 0 \quad ?$$

$$\begin{aligned} &= \int_{\square} \nabla \hat{U} \cdot \nabla \hat{u} = - \int_{\gamma'} v \partial_n v + \int_{\gamma'} \hat{u} \partial_n \hat{u} \\ &= -|v|_{1,\omega}^2 - |\hat{u}|_{1,\square \setminus (B \cup \bar{\omega})}^2 \end{aligned}$$

En effet,

$$-\Delta \hat{U} = 0 \quad \text{dans} \quad \square \setminus \gamma \quad \text{et} \quad -\Delta v = 0 \quad \text{dans} \quad \omega$$

## Le schéma relaxé est contractant

➤ Étape 2. Continuité de  $T \implies |T\hat{u}|_{1,\square} \leq C_T |\hat{u}|_{1,\square}$

$$\begin{aligned} |\theta\hat{u} + (1-\theta)\hat{U}|_{1,\square}^2 &= (1 - 2(1-\theta))|\hat{u}|_{1,\square}^2 \\ &+ (1-\theta)^2|\hat{U} - \hat{u}|_{1,\square}^2 \\ &+ 2(1-\theta) \boxed{\langle \hat{u}, \hat{U} \rangle_{1,\square}} \\ &\leq (1 - 2(1-\theta) + (1-\theta)^2 C_T) |\hat{u}|_{1,\square}^2 \end{aligned}$$

➤➤➤ Convergence de l'algorithme de point fixe



# Discrétisation

$\mathbb{U}_h \subset H_0^1(\square)$  : espace d'approximation par éléments finis ( $Q^1$ )

- $\hat{\mathbf{u}}^k \in \mathbb{U}_h \mapsto \mathbf{v}^k \in H_\gamma^1(\omega)$  solution de

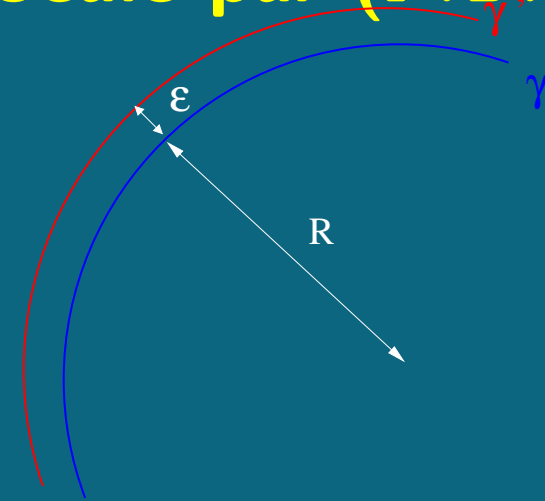
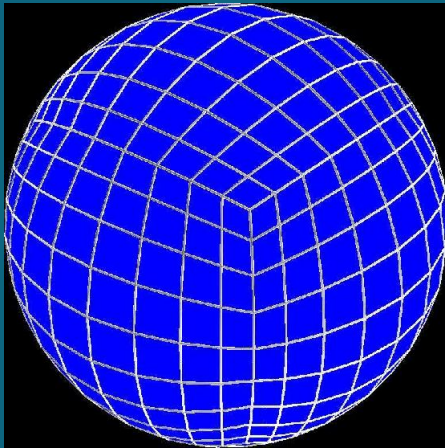
$$-\Delta \mathbf{v}^k = f, \quad \mathbf{v}^k|_{\gamma'} = \hat{\mathbf{u}}_h^k|_{\gamma'}$$

- $\mathbf{v}^k \mapsto \hat{\mathbf{U}}^k \in \mathbb{U}_h$  telle que  $\forall w_h \in \mathbb{U}_h$ ,  
$$\int_{\square} \nabla \hat{\mathbf{U}}_h^k \cdot \nabla w_h = \int_{\square} \bar{f} w_h + \int_{\gamma} w_h \partial_n \mathbf{v}^k$$
- $\hat{\mathbf{u}}_h^{k+1} = \theta \hat{\mathbf{u}}_h^k + (1 - \theta) \hat{\mathbf{U}}_h^k$

# Résolution locale

- Discrétisation par éléments finis et l'utilisation de méthodes directes (LU, Cholesky)
- Séries de Fourier et FFT [Shen, Lai *et al.*]
- Harmoniques sphériques et FFT [Mohlenkamp]

# Mise en oeuvre. Résolution locale par (F.B.M- $\varepsilon$ )



$$\partial_n \mathbf{v}|_\gamma = - \left(1 + \frac{\varepsilon}{R}\right) \frac{\widehat{u}_h|_\gamma}{\varepsilon} + \frac{1}{\varepsilon} \left[ \left(1 + \frac{\varepsilon}{R}\right) \int_R^{R+\varepsilon} t f(t) dt - \frac{1}{R} \int_R^{R+\varepsilon} t^2 f(t) dt \right]$$

# Mise en oeuvre. Résolution globale par PSCR

Techniques de résolution partielle et séparation de variables

[Abakumov, Kuznetsov, Vassilevski] :  $AU = \mathcal{F}$

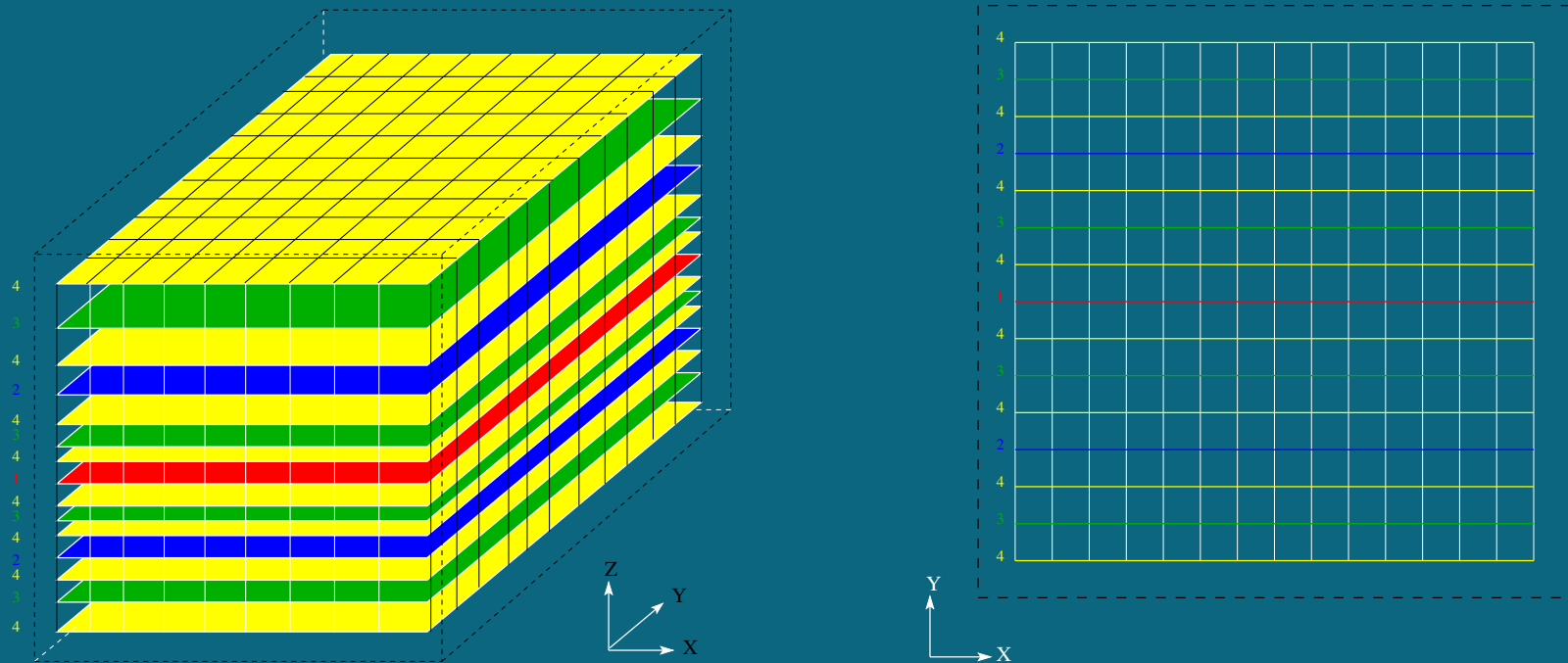
$$A = A_1 \otimes M_2 \otimes M_3 + M_1 \otimes A_2 \otimes M_3 + M_1 \otimes M_2 \otimes A_3$$

$$A_i = \text{tridiag}\left\{-\frac{1}{h_i}, \frac{2}{h_i}, -\frac{1}{h_i}\right\}, \quad M_i = \text{tridiag}\left\{\frac{h_i}{6}, \frac{2h_i}{3}, \frac{h_i}{6}\right\}$$

$$\begin{pmatrix} D_1 & C_2 & \cdot & \cdot & \cdot & \cdot \\ C_2 & D_2 & C_3 & \cdot & \cdot & \cdot \\ \cdot & \ddots & \ddots & \ddots & \cdot & \cdot \\ \cdot & \cdot & C_i & D_i & C_{i+1} & \cdot \\ \cdot & \cdot & \cdot & \ddots & \ddots & C_{n_z} \\ \cdot & \cdot & \cdot & \cdot & C_{n_z} & D_{n_z} \end{pmatrix} \begin{pmatrix} u_1 \\ u_2 \\ \vdots \\ u_i \\ \vdots \\ u_{n_z} \end{pmatrix} = \begin{pmatrix} \mathcal{F}_1 \\ \mathcal{F}_2 \\ \vdots \\ \mathcal{F}_i \\ \vdots \\ \mathcal{F}_{n_z} \end{pmatrix}$$

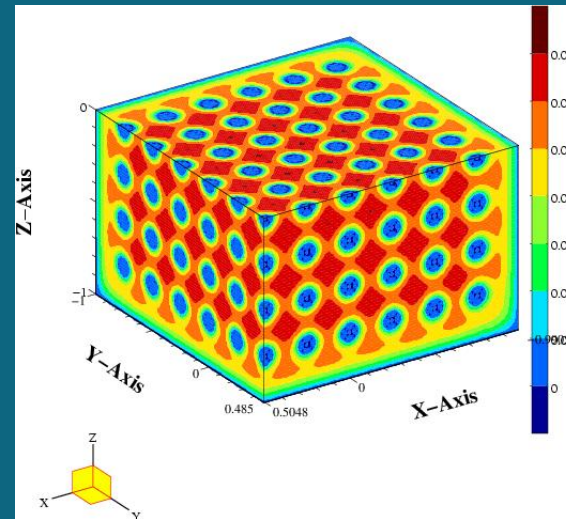
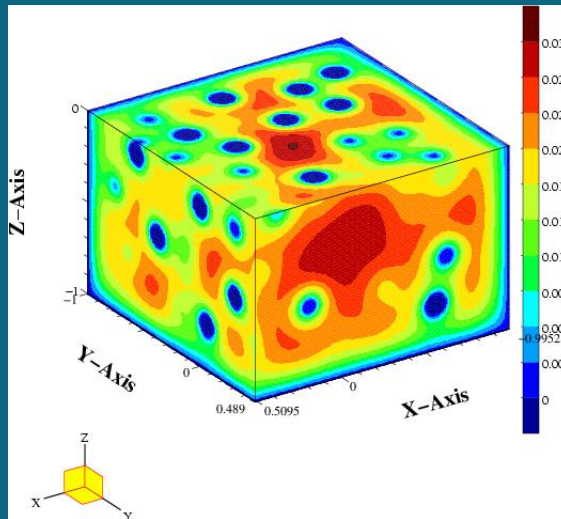
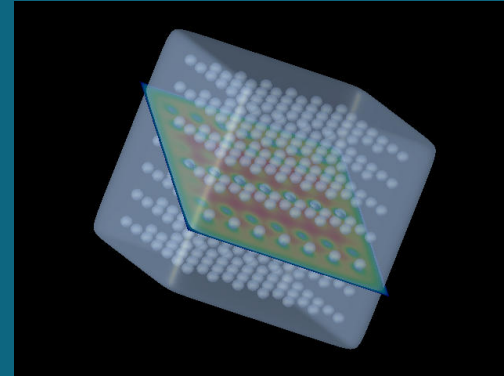
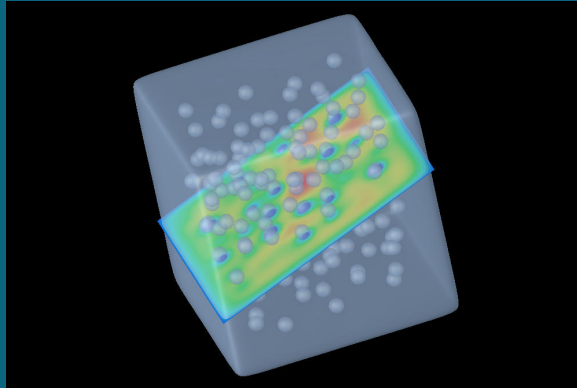
# Décomposition par blocs

[Rossi et Toivanen]



Tempo de calcul sur *Hydre* : 15.66 secondes CPU pour 2 millions d.d.l.

# Test numérique : Laplacien dans un domaine perforé



# Estimation d'erreur

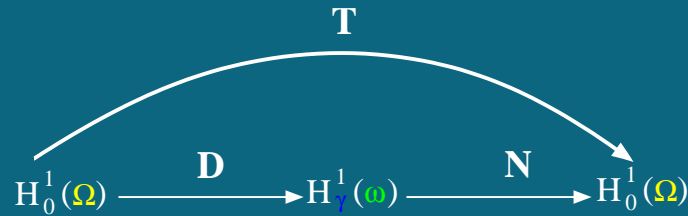
## Théorème de Nitsche et Schatz

Si  $\Omega_0 \subset\subset \Omega_1 \subset\subset (\square \setminus \gamma)$ ,  $u \in H^\ell(\Omega_1)$  ( $\ell \geq 1$ ) et  $u_h \in \mathbb{U}_h$ ,  
telles que, pour tout  $w_h \in \mathbb{U}_h \cap H_0^1(\Omega_1)$ ,

$$\int_{\Omega_1} \nabla(u - u_h) \cdot \nabla w_h = 0$$

$$\|u - u_h\|_{1,\Omega_0} \lesssim h^{\ell-1} \|u\|_{\ell,\Omega_1} + \|u - u_h\|_{0,\square}$$

# Schéma semi-discret [en collaboration avec S. Bertoluzza]

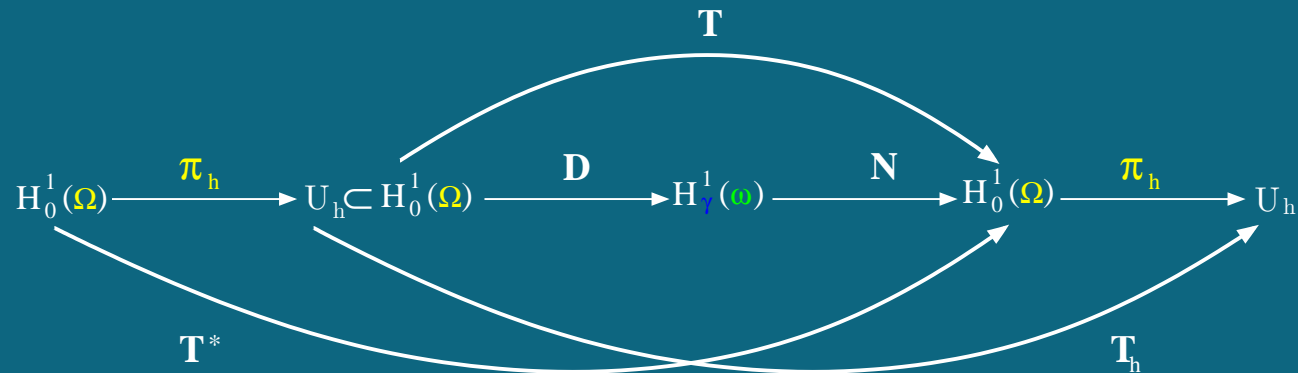


## ➤ Étape 1.

$$\begin{aligned}
 \langle T^* \hat{\mathbf{u}}, \hat{\mathbf{u}} \rangle &\leq C^* h^2 |\hat{\mathbf{u}}|_{1, \square}^2 \quad ? \\
 &= \int_{\square} \nabla \hat{\mathbf{U}} \cdot \nabla \hat{\mathbf{u}} = - \int_{\gamma'} \hat{\mathbf{u}} \partial_n \mathbf{V} + \int_{\gamma'} \mathbf{V} \partial_n \hat{\mathbf{u}} \\
 &= - |\mathbf{V}|_{1, \omega}^2 - |\hat{\mathbf{u}}|_{1, \square \setminus (B \cup \bar{\omega})}^2 - \int_{\gamma'} (\hat{\mathbf{u}} - \pi_h \hat{\mathbf{u}}) \partial_n \mathbf{V} \\
 &\quad + \int_{\gamma'} (\pi_h \hat{\mathbf{u}} - \hat{\mathbf{u}}) \partial_n \hat{\mathbf{u}}
 \end{aligned}$$



# Schéma semi-discret [en collaboration avec S. Bertoluzza]



## ➤ Étape 1.

$$\langle T^* \hat{u}, \hat{u} \rangle \leq C^* h^2 |\hat{u}|_{1, \square}^2 \quad ?$$

$$= \int_{\square} \nabla \hat{U} \cdot \nabla \hat{u} = - \int_{\gamma'} \hat{u} \partial_n V + \int_{\gamma'} V \partial_n \hat{u}$$

$$= -|V|_{1, \omega}^2 - |\hat{u}|_{1, \square \setminus (B \cup \bar{\omega})}^2 - \int_{\gamma'} (\hat{u} - \pi_h \hat{u}) \partial_n V + \int_{\gamma'} (\pi_h \hat{u} - \hat{u}) \partial_n \hat{u}$$

# Le schéma semi-discret est contractant

➤ Étape 2.  $\langle \hat{u}, \hat{U} \rangle \leq C^* h^2 |\hat{u}|_{1, \square}^2$

$$|\theta \hat{u} + (1 - \theta) \hat{U}|_{1, \square}^2 \leq (1 - 2(1 - \theta)(1 - C^* h^2)) + (1 - \theta)^2 C_{T^*}) |\hat{u}|_{1, \square}^2$$

➤➤➤ Convergence de l'algorithme de point fixe.

## Estimation d'erreur

$$\Omega^* = \square \setminus (B \cup \bar{\omega})$$

### Théorème

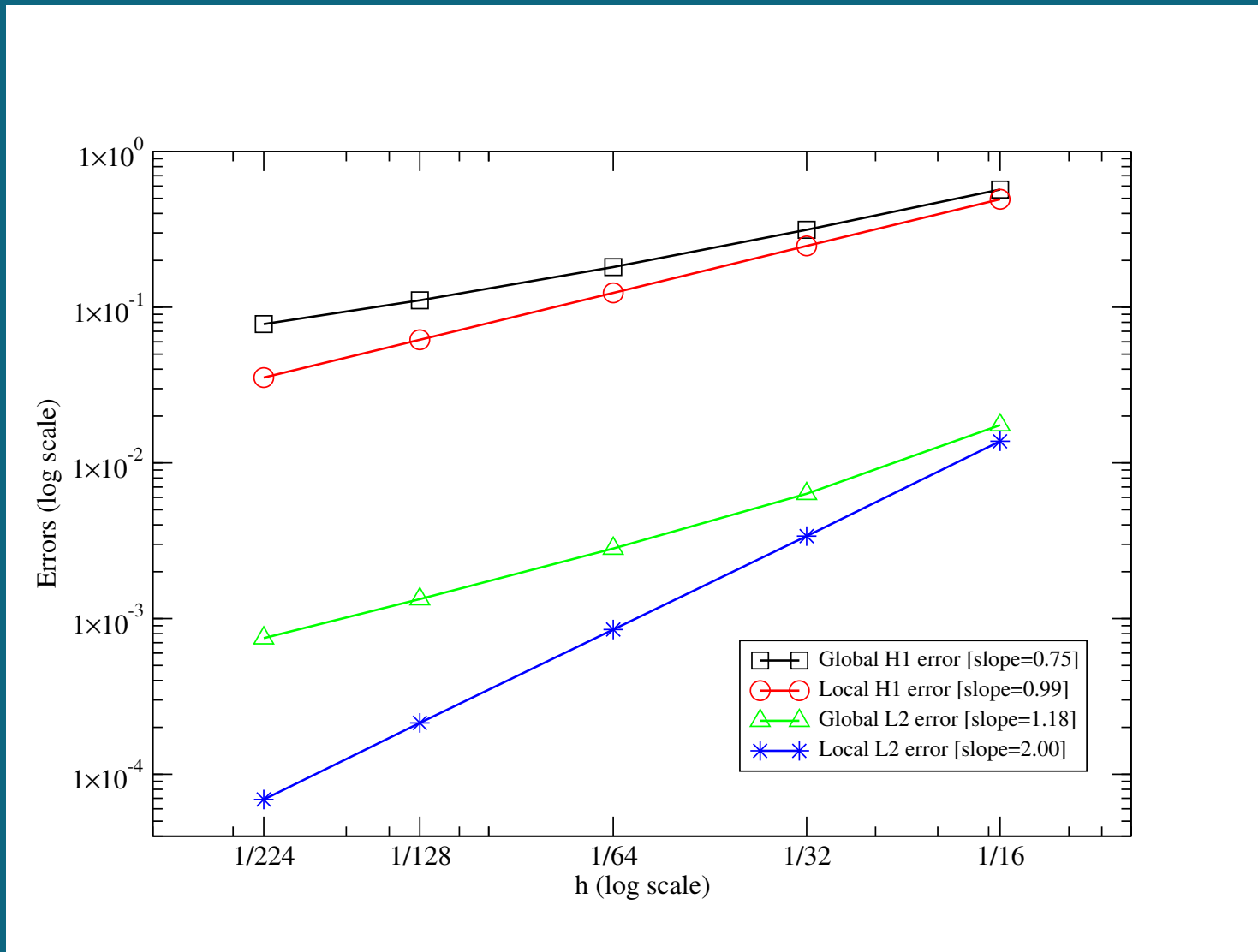
Si  $f \in L^2(\square \setminus \bar{B})$  alors

$$|\hat{u} - \hat{u}_h|_{1, \Omega^*} \lesssim h |f|_{0, \square \setminus \bar{B}}$$

### Preuve

- Intercaler  $u^*$
- Nitsche et Schatz avec  $\Omega_0 = \Omega^*$  et  $\Omega_1 = \square \setminus \bar{B}$
- $|\xi|_{2, \Omega_0} \lesssim \|\xi\|_{1, \Omega_1}$  pour  $\xi$  harmonique sur  $\Omega_1$  et  $\Omega_0 \subset\subset \Omega_1$

# Validation numérique. Dérivée normale “exacte”



$$\hat{u} = \sin(2\pi(r^2 - R^2)), \quad \partial_n v|_{\gamma} = -4\pi R$$

# Avantages de la F.B.M.

## Résolution globale

- ✓ Maillage cartésien dans  $\square$
- ✓ Possibilité d'utiliser des solveurs rapides (méthode PSCR [Kuznetsov, Rossi, Toivanen, . . . ])

## Résolution locale

- ✓ Possibilité de résolution en parallèle
- ✓ Particules identiques. Un seul maillage, une seule matrice de rigidité
- ✓ Pas de “remaillage” quand il s'agit de particules mobiles.

# Plan

1. Problèmes elliptiques dans des domaines perforés
  - Méthodes existantes
  - F.B.M. Analyse mathématique et tests numériques
2. **Algorithme de prise en compte des conditions de Neumann**
  - Convergence et validation numérique
3. Application aux écoulements fluides tridimensionnels
  - Simulation de la convection-diffusion de la chaleur
  - Discrétisation des équations de Navier-Stokes
  - Simulations numériques
4. Conclusion et perspectives

## Un algorithme pour la prise en compte des conditions de Neumann

➤  $f \in L^2(\square \setminus \overline{B})$ . Trouver  $u \in H_{\Gamma}^1(\square \setminus \overline{B})$ , telle que

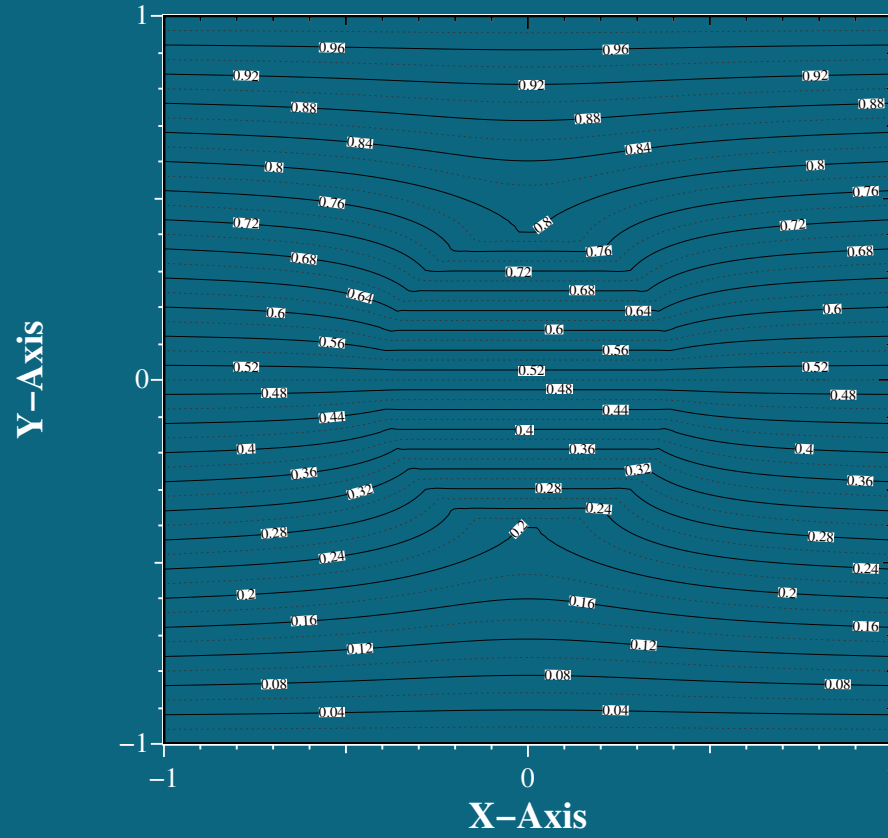
$$\begin{cases} -\Delta u = f & \text{dans } \square \setminus \overline{B} \\ \partial_n u = 0 & \text{sur } \gamma \end{cases}$$

➤  $u^n \in H_0^1(\square)$  donné, trouver  $u^{n+1} \in H_0^1(\square)$ , telle que

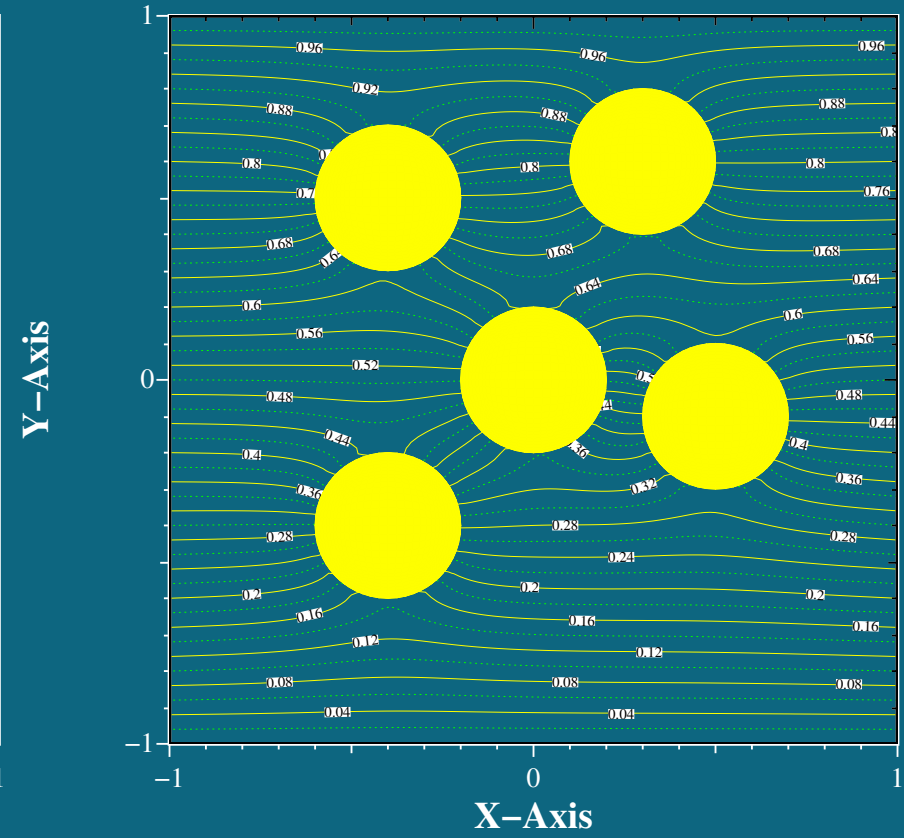
$$\int_{\square} \nabla u^{n+1} \cdot \nabla w = \int_B \nabla u^n \cdot \nabla w + \int_{\square} \bar{f} w, \quad \forall w \in H_0^1(\square).$$

➡  $(u^n|_{\square \setminus \overline{B}})$  converge vers  $u$  dans  $H_{\Gamma}^1(\square \setminus \overline{B})$ .

$z=0$

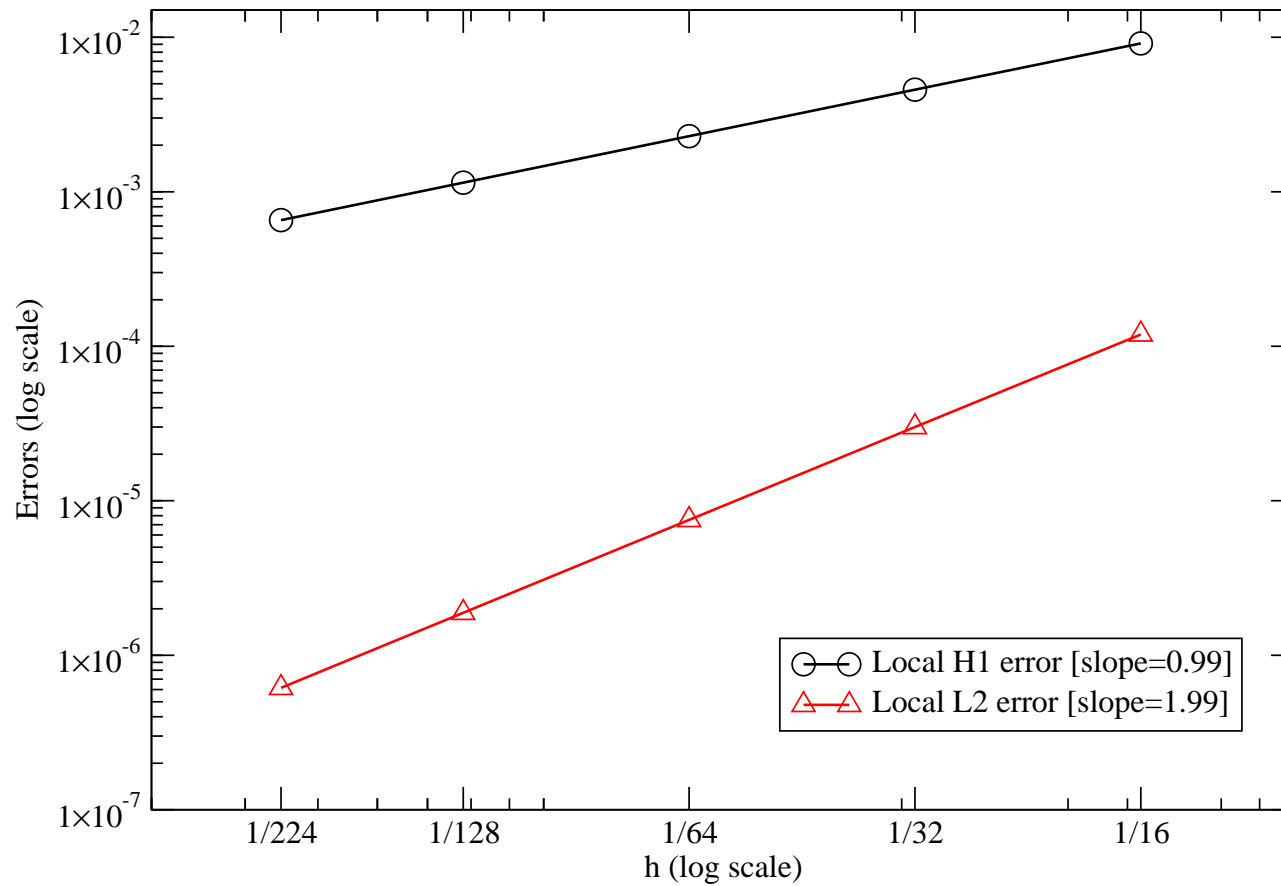


PLOT



# Tests numériques





$$u(r, \psi, \varphi) = \frac{1}{4}(r^2 - 2R^2) \sin^2 \psi \cos 2\varphi$$

# Plan

1. Problèmes elliptiques dans des domaines perforés
  - Méthodes existantes
  - F.B.M. Analyse mathématique et tests numériques
2. Algorithme de prise en compte des conditions de Neumann
  - Convergence et validation numérique
3. **Application aux écoulements fluides tridimensionnels**
  - Simulation de la convection-diffusion de la chaleur
  - Discrétisation des équations de Navier-Stokes
  - Simulations numériques
4. Conclusion et perspectives

# Simulation numérique : convection-diffusion autour de 2 boules en mouvement

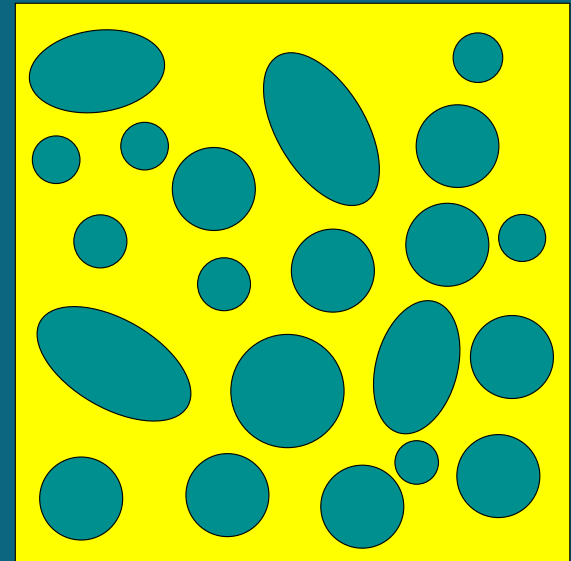
$$\left\{ \begin{array}{l} x_1(t) = x_0 + 2 \cos(t) \\ y_1(t) = y_0 + 2 \sin(t) \\ z_1(t) = z_0 + \frac{9}{2} \sin\left(\frac{t}{10}\right) \end{array} \right. \quad \left\{ \begin{array}{l} x_2(t) = x_0 + \frac{1}{2} \sin(t) \\ y_2(t) = y_0 + \frac{1}{2} \cos(t) \\ z_2(t) = z_0 - \frac{9}{2} \sin\left(\frac{3t}{10}\right) \end{array} \right.$$

$$\left\{ \begin{array}{l} -\Delta\phi = 0 \quad \text{dans } \Omega \setminus B \\ \partial_n\phi = 0 \quad \text{sur } \gamma \\ \partial_n\phi = 0 \quad \text{sur } \Gamma \setminus (z_{min}, z_{max}) \\ \phi = 1 \quad \text{sur } (z_{min}, z_{max}) \end{array} \right. \quad \left\{ \begin{array}{l} \partial_t T - \nu\Delta T + \nabla\phi \cdot \nabla T = 0 \quad \text{dans } \Omega \setminus B \\ T = 0 \quad \text{sur } \gamma \\ T = 1 \quad \text{sur } \Gamma \setminus (z_{min}) \\ \partial_n T = 0 \quad \text{sur } (z_{min}) \end{array} \right.$$

# Écoulements fluides tridimensionnels et domaines perforés

$$\begin{aligned}\frac{\partial \mathbf{u}}{\partial t} + (\mathbf{u} \cdot \nabla) \mathbf{u} - \nu \Delta \mathbf{u} + \nabla p &= f \\ \nabla \cdot \mathbf{u} &= 0 \\ \mathbf{u}(t = 0) &= \mathbf{u}_0\end{aligned}$$

+ Conditions aux limites adéquates



# Stratégie

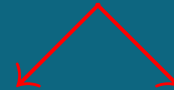
Équations de Navier-Stokes



Méthode des caractéristiques + Schéma de projection



Problèmes elliptiques dans des domaines perforés



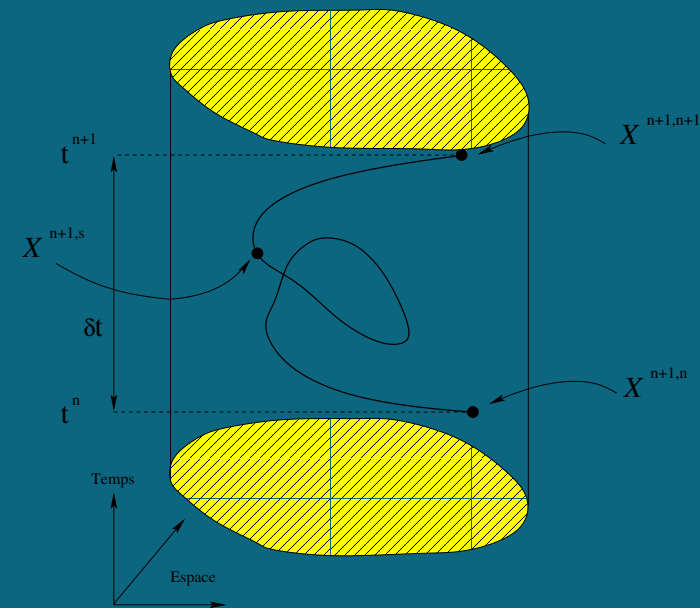
$$\left\{ \begin{array}{l} \alpha u - \Delta u = f_1 \\ u = g \end{array} \right. \begin{array}{l} \text{dans } \Omega_f \\ \text{sur } \partial\Omega_f \end{array} \quad \left\{ \begin{array}{l} -\Delta p = f_2 \\ \frac{\partial p}{\partial n} = 0 \end{array} \right. \begin{array}{l} \text{dans } \Omega_f \\ \text{sur } \partial\Omega_f \end{array}$$

# Méthode des caractéristiques

$$\frac{D\mathbf{u}}{Dt} := \frac{\partial \mathbf{u}}{\partial t} + (\mathbf{u} \cdot \nabla) \mathbf{u},$$

$$\begin{cases} \frac{d\chi(t, s; \mathbf{x})}{dt} = \mathbf{u}(t, \chi(t, s; \mathbf{x})), & t \in [0, s], \\ \chi(s, s; \mathbf{x}) = \mathbf{x}. \end{cases}$$

$$\frac{D\mathbf{u}}{Dt} \simeq \frac{\mathbf{u}(t^{n+1}, \mathbf{x}) - \mathbf{u}(t^n, \chi^{n+1,n}(\mathbf{x}))}{\delta t}$$



# Méthodes de projection

## ➤ Schéma Lagrange/Galerkin [Achdou-Guermond]

$$\text{Prédiction} \left[ \begin{array}{l} \left( \frac{\tilde{\mathbf{u}}_h^{n+1} - \tilde{\mathbf{u}}_h^n \circ \chi_h^{n+1,n}}{\delta t}, \mathbf{v}_h \right) + \nu(\nabla \tilde{\mathbf{u}}_h^{n+1}, \nabla \mathbf{v}_h) + \\ (\mathcal{B}_h^T(2p_h^n - p_h^{n-1}), \mathbf{v}_h) = (f^{n+1}, \mathbf{v}_h), \quad \forall \mathbf{v}_h \in \mathbf{X}_h. \end{array} \right.$$

$$\text{Projection} \left[ \begin{array}{l} \left( \nabla(p_h^{n+1} - p_h^n), \nabla q_h \right) = \frac{(\nabla \cdot \tilde{\mathbf{u}}_h^{n+1}, q_h)}{\delta t}, \quad \forall q_h \in \mathbf{M}_h, \\ \mathbf{u}^{n+1} = \tilde{\mathbf{u}}_h^{n+1} - \delta t \nabla(p_h^{n+1} - p_h^n), \end{array} \right.$$

➤ Schéma de *splitting* [Guermond]

$$\frac{\mathbf{u}^{n+1} - \mathbf{u}^n}{\delta t} - \nu \Delta \mathbf{u}^{n+1} + \nabla p^n = g^{n+1}, \quad \mathbf{u}^{n+1}|_{\partial\Omega_f} = 0,$$

$$(\nabla \psi^{n+1}, \nabla q) = \left( \frac{\mathbf{u}^{n+1} - \mathbf{u}^n}{\delta t}, \nabla q \right), \quad \forall q \in \mathbf{H}^1(\Omega_f),$$

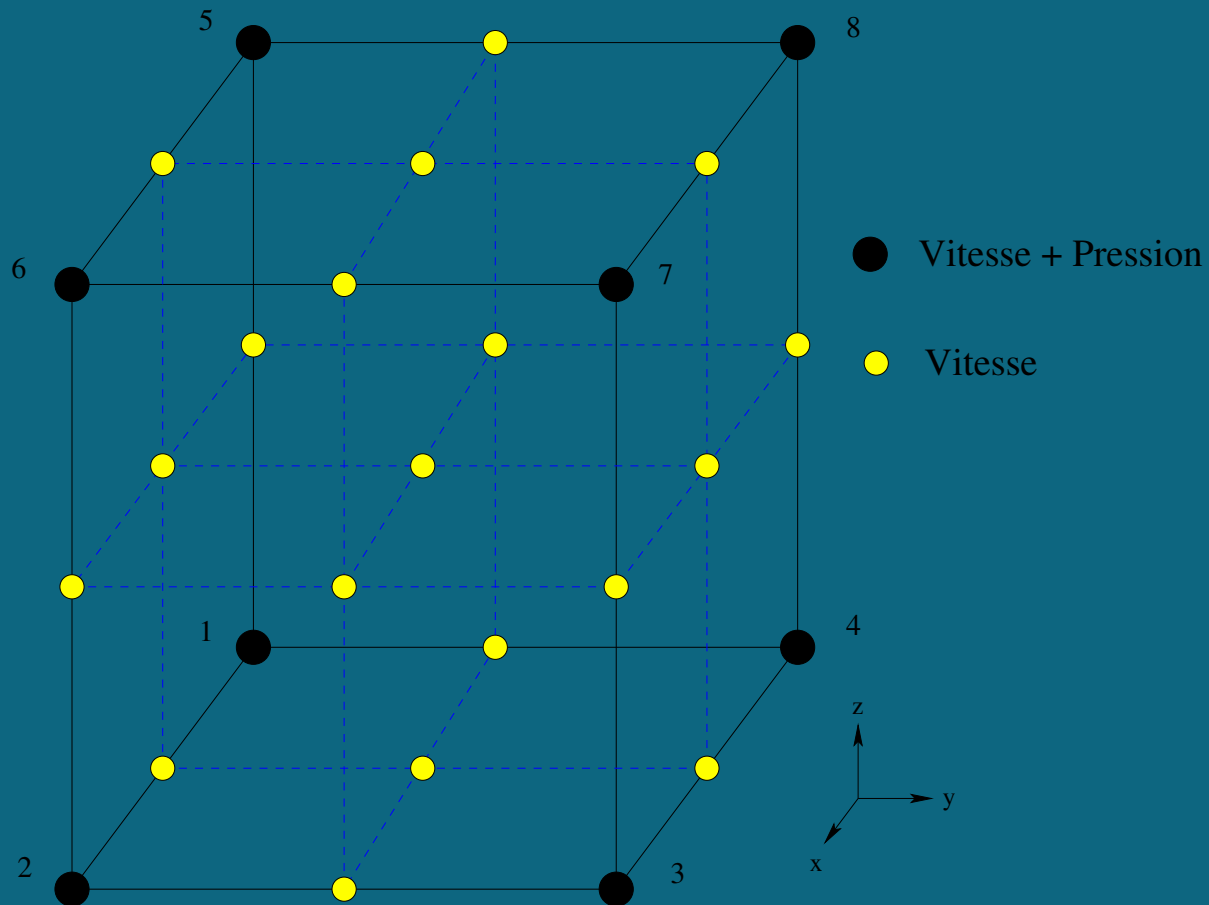
$$p^{n+1} = \psi^{n+1} + p^n - \nu \nabla \cdot \mathbf{u}^{n+1}.$$

➤ Lagrange/Galerkin ou Splitting  $\implies$  problèmes elliptiques dans des domaines perforés.

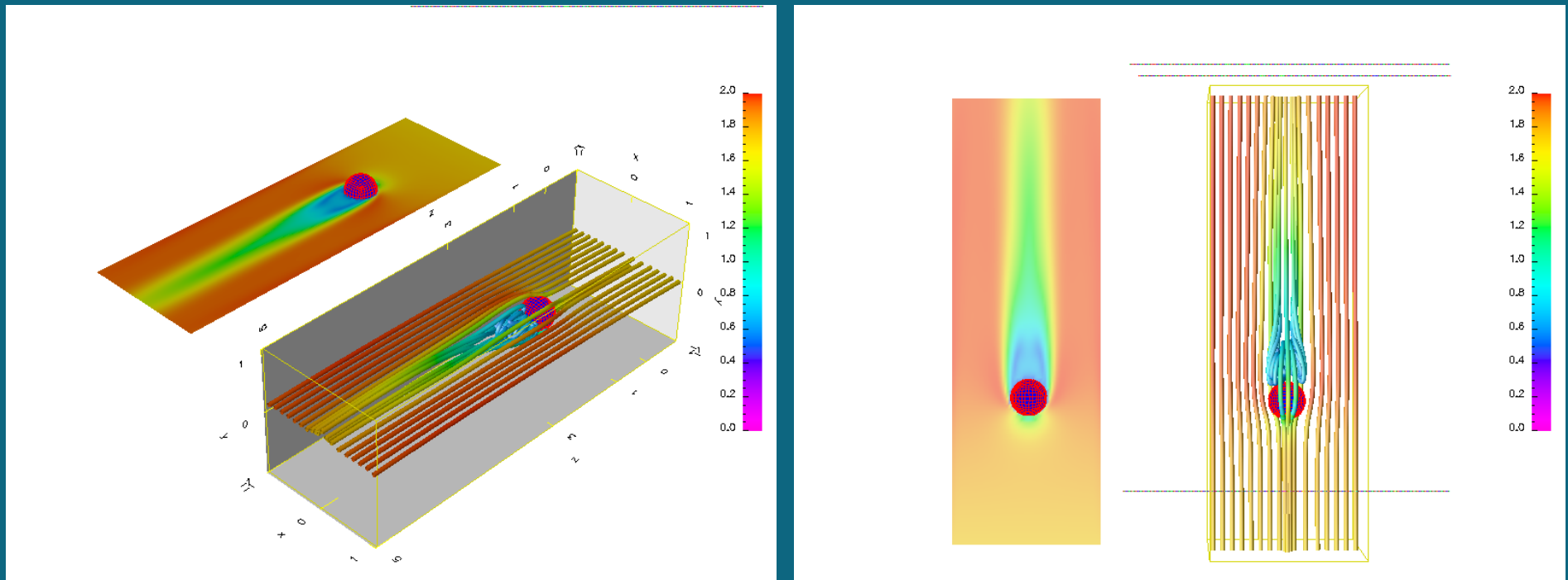
↓  
F.B.M.



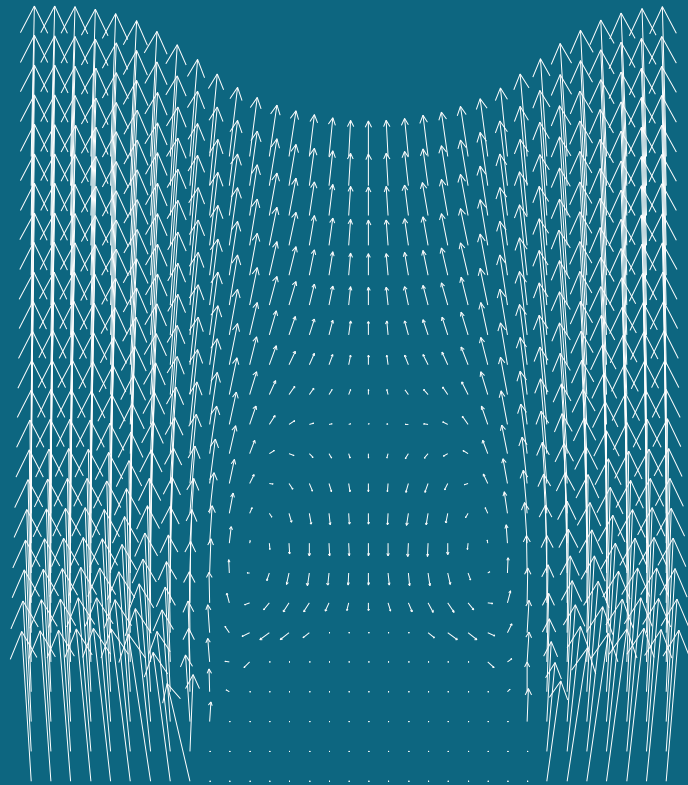
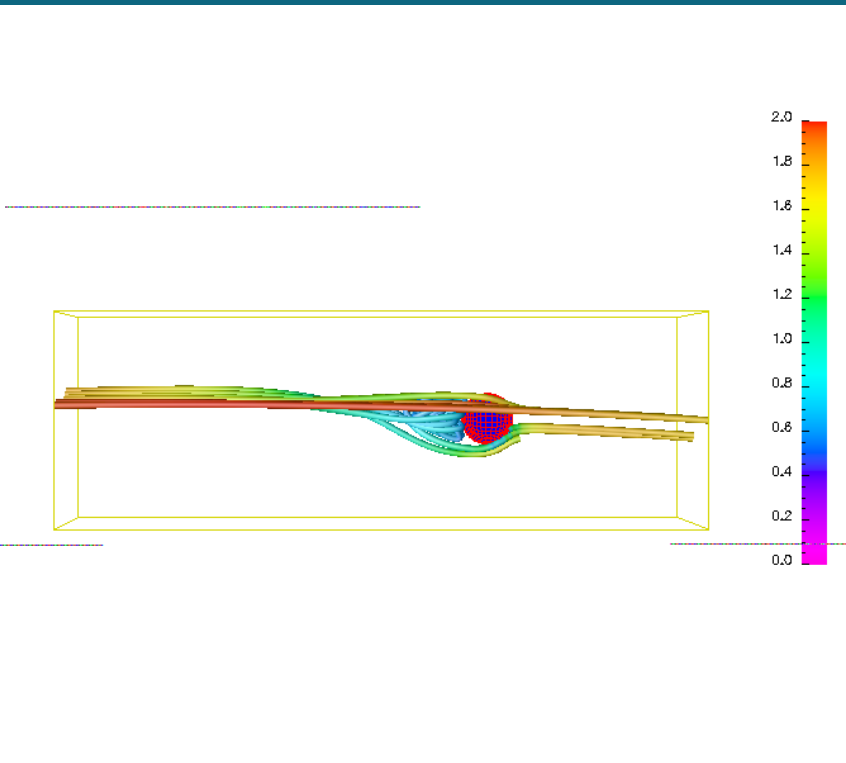
# L'élément ( $8Q^1/Q^1$ )



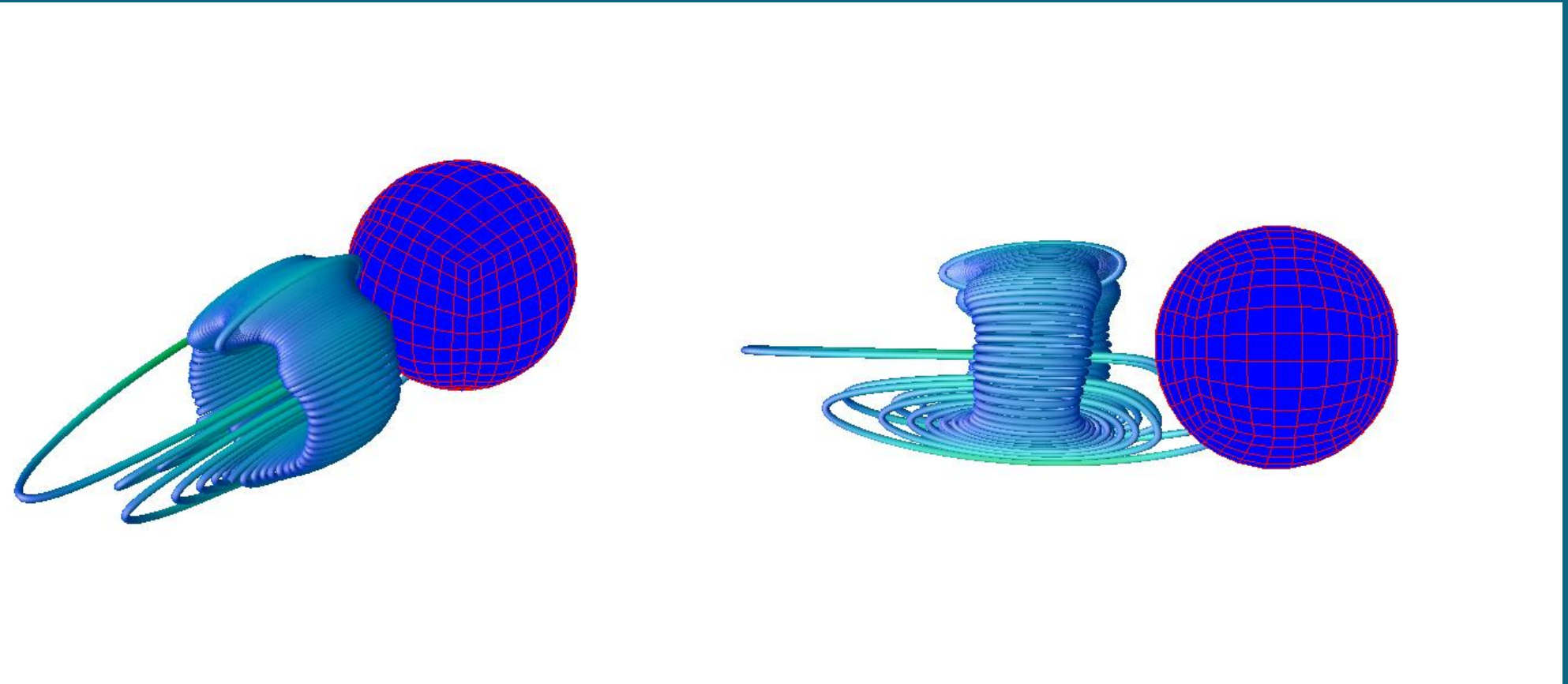
# Simulation numérique: écoulement autour d'une sphère

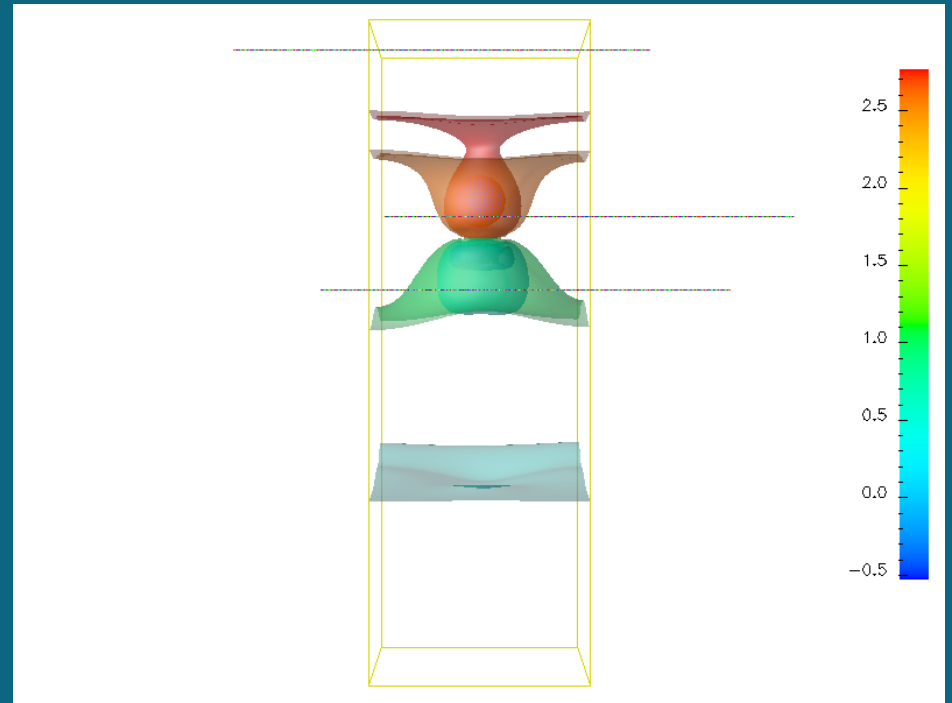
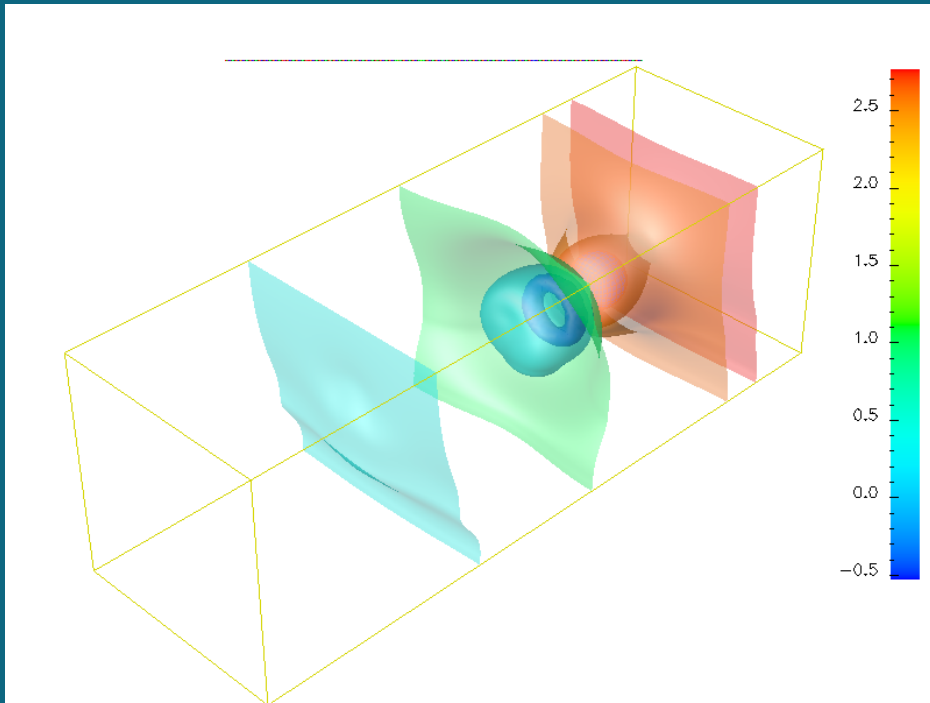


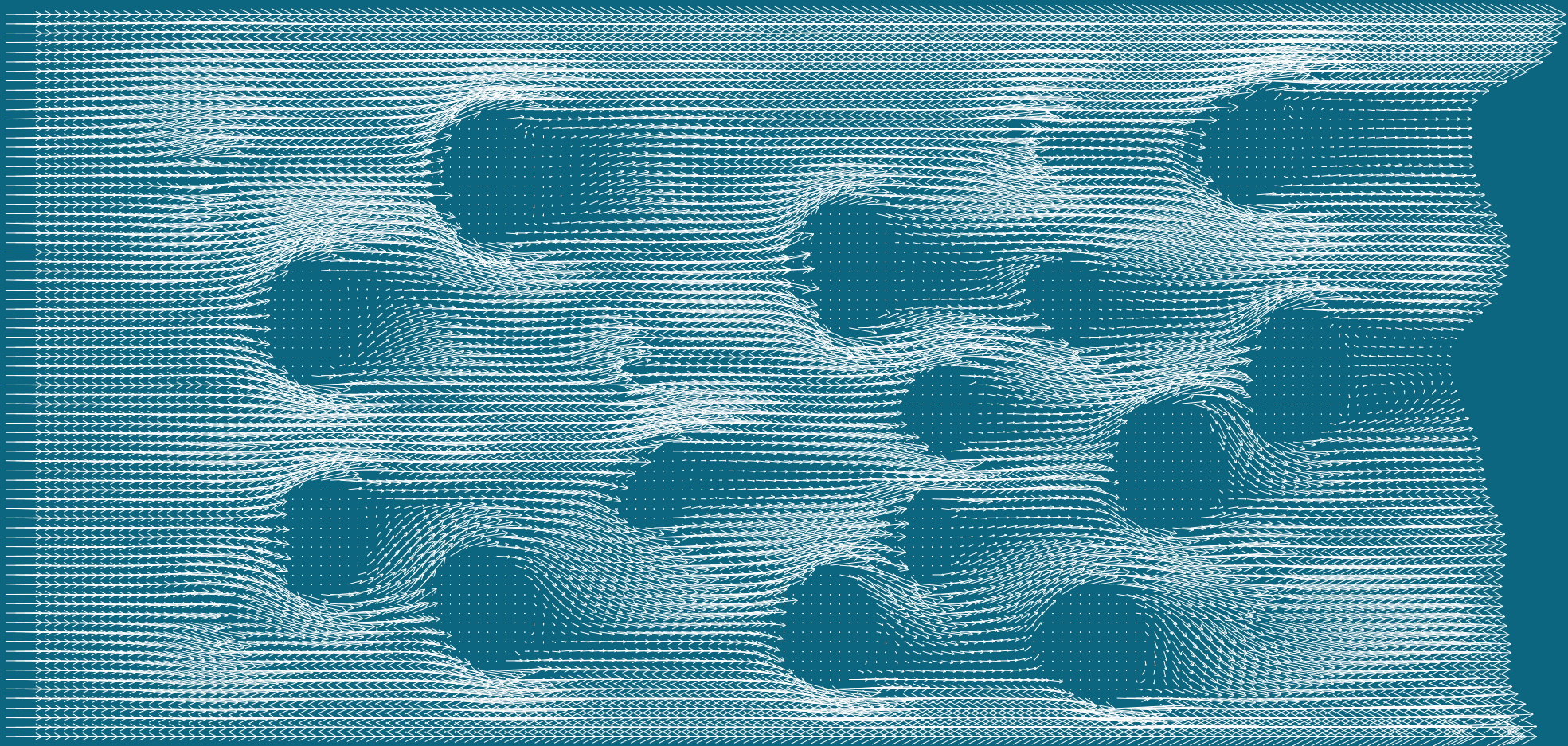
Champ de vitesse constant en entrée.  $Re \simeq 250$ .



# Zone de recirculation

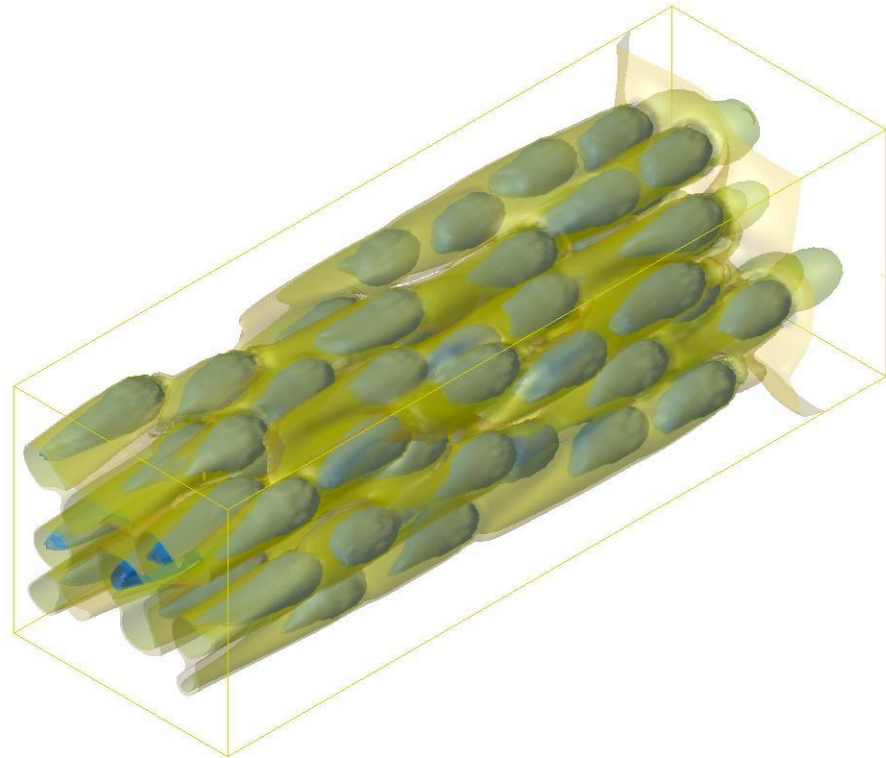








Nbr	CPU
1	2.48 mn
10	2.85 mn
40	3.49 mn
70	3.52 mn



# Conclusion

- ✓ Résolution de problèmes elliptiques dans des domaines perforés en utilisant des solveurs rapides
- ✓ Algorithme pour la prise en compte des conditions de Neumann
- ✓ Estimation d'erreur optimale
- ✓ Adaptation aux écoulements fluides tridimensionnels dans des géométries complexes



# Travaux en cours et perspectives

- F.B.M. dans FreeFEM3D  
(avec [S. Del Pino](#))
- Écoulements fluide-particules
- Gestion des contacts entre particules  
(avec [B. Maury](#))
- Estimation d'erreur pour le schéma discret  
(avec [S. Bertoluzza & B. Maury](#))

# Table des matières

Titre Motivation Methodes MaillagesCartesiens Physalis PbModele FBM PtFixe SchemCont  
SchemRel FBMDiscr ResLoc FBMe PSCR Laplacien EstimationErreur SemiDiscret  
SchemaSemi EstimationErreur Courbes Rem Neumann SimuChal Ecoulements Strategie  
Caract Project Sphere Conclusion Perspectives